

بیبود کیفیت اپتیکی ورق پلی متیل متاکریلات به کمک روش شکل دهنده با لاستیکمجید رضایی^(۱)
کورش حسن پور^(۲)

چکیده پلی متیل متاکریلات (پی.ام.ام.) یکی از پلیمرهای شفاف است که عموماً به روش شکل دهنی حرارتی، شکل داده می‌شود. یکی از نکات مهم در تولید این محصول کیفیت اپتیکی آن است. به این منظور، استفاده از شبیه‌سازی فرایند در نرم‌افزار اجزای محدود، از اهمیت بالایی برخوردار است. در این مقاله فرایند شکل دهنی پی.ام.ام. به کمک رفتار الاستیک-پلاستیک ماده شبیه‌سازی و پس از مقایسه نتایج حاصل با نتایج تجربی حاصل از آزمایش‌های عملی، صحت شبیه‌سازی با مدل الاستیک-پلاستیک بررسی می‌گردد. سپس با استفاده از شکل دهنی به کمک لاستیک، روند توزیع ضخامت و کرنش بر شیشه نهایی قطعه در اختیار قرار می‌گیرد و محصولی با ویژگی‌ها و کیفیت مطلوب به دست می‌آید. با انتخاب لاستیکی با خواص نزدیک به ورق، می‌توان از اثر گذاشتن آن بر روی ورق در حین فرایند شکل دهنده جلوگیری نمود.

واژه‌های کلیدی پلی متیل متاکریلات؛ شکل دهنی گرم؛ شبیه‌سازی؛ خصوصیات اپتیکی؛ لاستیک.

Improving Optical Quality of Poly methyl methacrylate Sheet by Forming with Rubber

M. Rezaei

K. Hasanpour

Abstract Poly methyl methacrylate (PMMA) is one of the transparent polymers prevalently formed through thermoforming process. One of the important factors in this production is its optical quality. Using finite element simulation is very important to this aim. In this paper, PMMA thermoforming process is simulated using elastic-plastic model and accuracy of the results is verified by comparison with that of experimental data obtained from tests. Then, thickness distribution and final shear strain are controlled by forming with rubber and a product with appropriate properties and quality is obtained. By choosing rubber with properties similar to the sheet, the rubber effects on sheet can be prevented.

Key Words Poly Methyl Meth Acrylate; Thermoforming; Simulation; Optical properties; Rubber.

★تاریخ دریافت مقاله ۹۴/۱۲/۷ و تاریخ پذیرش آن ۹۵/۱۲/۳ می‌باشد.

(۱) نویسنده مسئول: دانشجوی کارشناسی ارشد، مهندسی مکانیک، دانشگاه اصفهان. maj.rezaei@eng.ui.ac.ir

(۲) استادیار، مهندسی مکانیک، دانشگاه اصفهان.

مقدمه

پلیمرها در حین تغییرشکل بسته به ویژگی‌ها و خواص خود، رفتارهای متفاوتی نشان می‌دهند. این رفتارها علاوه بر شکل نهایی قطعه، بروز شکل دهی و نیز میزان هزینه و زمان صرف شده برای شکل دهی مؤثر است. از طرفی، در فرایندهای شکل دهی پلیمرهای شفاف، ویژگی‌های اپتیکی محصول نهایی از اهمیت ویژه‌ای برخوردار است؛ به گونه‌ای که شاید بتوان تأیید نهایی کیفیت قطعه را، تا حد زیادی وابسته به خصوصیات اپتیکی آن دانست. شرایط اپتیکی محصول و به عبارت صحیح‌تر، میزان اعوجاج در ورق و شکست نور در قسمت‌های مختلف آن، باید در حد مطلوب باشد. لذا انجام فرایند شکل دهی به‌نحوی که قطعه نهایی کیفیت اپتیکی قابل قبولی داشته باشد، از نکات اصلی در تولید پلیمرهای شفاف است. با شبیه‌سازی صحیح فرایند، امکان شناسایی عوامل مؤثر بر کیفیت اپتیکی محصول و تلاش درجهت بهبود این کیفیت فراهم می‌گردد. به‌کمک روش اجزای محدود می‌توان با توجه به شرایط فرایند شکل دهی و خصوصیات ماده اولیه، ویژگی‌های محصول نهایی را پیش‌بینی نمود و فرایند شکل دهی را به گونه‌ای طراحی کرد که قطعه نهایی، ویژگی‌های موردنظر را داشته باشد [1].

در این مقاله سعی شده تا با کمک گرفتن از نرم‌افزار اجزای محدود، رفتار پلیمر پلی‌متیل‌متاکریلات (Poly Methyl Methacrylate) در حین فرایند شکل دهی و خصوصیات نهایی محصول پیش‌بینی شود و با استفاده از روش پیشنهادی شکل دهی به‌کمک لاستیک، محصولی با خصوصیات اپتیکی مطلوب به دست آید.

شكل دهی حرارتی آزاد. شکل دهی حرارتی، فناوری شکل دهی محصولات مختلف با استفاده از حرارت

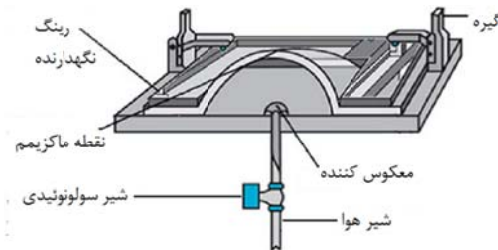
است. در کلیه عملیات شکل دهی حرارتی، ماده اولیه ورق می‌باشد. ورق مسطح تا دمای نرمی (Softening Temperature) حرارت داده می‌شود و سپس با اعمال فشار هوا یا ایجاد خلاً و همچنین در صورت نیاز، با کمک سنبه به سمت دیواره قالب هدایت می‌شود و پس از سرد شدن از قالب خارج می‌شود. این شکل دهی، افزایش طول و کاهش ضخامت ورق را در پی دارد. برای انجام این فرایند لازم است که ماده پلیمری در حالت لاستیکی خود قرار گیرد تا ماده از استحکام مناسب و قابلیت افزایش طول کافی برخوردار باشد و دچار پارگی نشود.

بسیاری از فلزات، پلیمرها و پلاستیک‌ها به‌کمک این روش شکل داده می‌شوند. به‌دلیل وجود برخی ویژگی‌ها از قبیل سادگی، ارزان بودن تجهیزات و قابلیت ادغام روش‌های مختلف، فرایند شکل دهی حرارتی به یکی از پرکاربردترین روش‌های شکل دهی تبدیل شده است که قابلیت تولید بسیاری از محصولات را دارد. در فرایند شکل دهی حرارتی، تماس بین قالب و ورق نرم‌شده می‌تواند روی محصول خروجی، به‌ویژه بر روی خصوصیات نوری و اپتیکی آن اثرات نامطلوبی بگذارد. لذا روش‌هایی که در آنها تماس بین قالب و ورق وجود ندارد می‌تواند محصول بهتری از جهت خواص اپتیکی ارائه دهد.

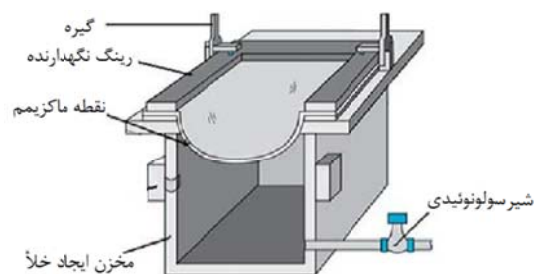
شكل دهی آزاد گونه‌ای از انواع روش‌های شکل دهی حرارتی است که برای شکل دادن ورق‌های مسطح و با استفاده از نیروی فشار هوا یا ایجاد خلاً انجام می‌شود. در این فرایند یک ورق مسطح که اطراف آن به‌وسیله گیره مهار شده است، به یک شکل سه‌بعدی تبدیل می‌شود [2]. دمای قطعه در فرایند شکل دهی آزاد از دمای نقطه نرمی آن فراتر می‌رود. بدین ترتیب ورق در حالت خمیری قرار می‌گیرد و به راحتی شکل می‌پذیرد [3].

عموماً در روش شکل دهی آزاد، فشار هوا و یا کشش ناشی از ایجاد خلاً به بالا یا پایین ورق اعمال

ضخامت قطعه در طول شکل دهی را در اختیار گرفت، می توان به محصولی با ویژگی های بهتر دست یافت.



شکل ۱ ساز و کار روش شکل دهی آزاد با فشار هوا [7]



شکل ۲ ساز و کار روش شکل دهی آزاد به کمک ایجاد خلا [7]

پلی متیل متاکریلات (پی.ام.ام.). پلی متیل متاکریلات یا پی.ام.ام. آ. یکی از انواع پلیمرهای شفاف است که طی فرایند پلیمریزاسیون از ماده متیل کریلات به دست می آید. از ویژگی های این ماده می توان به سختی، مقاومت در برابر تغییرات شرایط جوی، شفافیت بالا، خواص اپتیکی قابل قبول، چگالی کم، انعطاف پذیری و قابلیت شکل پذیری خوب اشاره کرد [4]. مصارف عمده پی.ام.ام. آ. که به شیشه اکریلیک نیز معروف است، به دلیل توانایی عبور درصد بالای نور از خود می باشد. از کاربردهای آن می توان به استفاده در صنایع هوانوردی، صنعت حمل و نقل و اتومبیل سازی و ساخت تجهیزات شفاف و مقاوم اشاره کرد.

پی.ام.ام. آ نسبت به سایر پلیمرها برتری هایی دارد. مثلاً مقاومت آن در برابر ضربه و قابلیت شکل پذیری آن نسبت به شیشه های معمولی بیشتر است [7].

می شود و ورق شروع به باد شدن می کند (شکل های ۱ و ۲). پس از آن ورق سرد می شود و فشار اعمالی قطع می شود و محصول نهایی به دست می آید.

به دلیل وجود برخی ویژگی ها از قبیل سادگی، ارزان بودن تجهیزات و قابلیت ادغام روش های مختلف، این روش به یکی از پر کاربرد ترین روش های شکل دهی تبدیل شده است که قابلیت تولید بسیاری از محصولات را دارد. روش شکل دهی آزاد معایبی نیز دارد؛ مثلاً در این روش، ماده اولیه حتماً باید به صورت ورق باشد؛ امکان تولید قطعات سوراخ دار وجود ندارد و کنترل دقیقی روی ضخامت نهایی قطعه صورت نمی گیرد [4].

در فرایند شکل دهی آزاد، به دلیل آنکه تماس بین قالب و ورق وجود ندارد می توان محصول بهتری از جهت خواص اپتیکی به دست آورد. از مزایای این روش آن است که ورق و قالب جز در کناره ها، هیچ تماسی با یکدیگر ندارند و بدین ترتیب اثری از قالب بر روی محصول نهایی باقی نمیماند. این امر باعث شده است تا محصولات به دست آمده با این روش از خصوصیات اپتیکی مطلوبی برخوردار باشند [5، 6]. از دیگر مزایای این روش می توان به سرد شدن یکنواخت و تدریجی ورق پس از شکل دهی اشاره نمود. زیرا دو طرف ورق در معرض هوا قرار دارند. باید در نظر داشت که در این نوع شکل دهی ضخامت وسط ورق که پس از شکل دهی بیشترین ارتفاع را پیدا می کند، از ضخامت سایر نقاط کمتر می شود. لذا شرایط شکل دهی و میزان بار اعمالی باید به گونه ای باشد که ضخامت این ناحیه از یک حد قابل قبول کمتر نشود. از مسایل مهم در این روش، بهینه سازی توزیع ضخامت در محصول نهایی است.

کیفیت محصول نهایی تا حد زیادی وابسته به جریان ماده در حین فرایند و توزیع ضخامت نهایی قطعه است، به گونه ای که اگر بتوان به نحوی توزیع

محققان زیادی درمورد رفتار و ویژگی‌های پی.ام.آ تحقیق کرده‌اند. به‌طور مثال مولیکن و بویس (۲۰۰۶) یک دسته معادلات ساختاری هایپرالاستیک برای پی.ام.آ در نرخ کرنش‌های پایین پیشنهاد کردند [9]. با توجه به اینکه در نرخ کرنش‌های بالا، کار پلاستیک برای پلیمرهای شیشه‌ای تبدیل به گرما می‌شود، نتایج حاصل از معادلات پیشنهادی مولیکن و بویس در نرخ کرنش‌های بالا تفاوت عمدی‌ای با نتایج عددی داشت. وارگس و باترا در روابط پیشنهادی مولیکن و بویس دو اصلاح ایجاد کردند و نتایج حاصل را کمی بهبود بخشیدند [9].

جدول ۲ ویژگی‌های حرارتی پی.ام.آ [10]

مقدار	ویژگی گرمایی
۱.۴۶ - ۱.۴۷(J/g.°C)	ظرفیت گرمایی ویژه
۰.۱۹ - ۰.۲۴(W/m.K)	رسانندگی گرمایی
۱۷۰(°C)	دماهی نقطه ذوب
۱۳۰ - ۱۴۰(°C)	دماهی نرمی
۵۰ - ۹۰*10 ^{-۶} (1/k)	انبساط حرارتی

دانگ و همکاران [3] فرایند شکل‌دهی ورق‌های ساخته‌شده از جنس پلیمرهای شیشه‌ای (اکریلیک) را به‌کمک مدل صریح (Explicit) شبیه‌سازی کردند. آنها از مدل هایپرالاستیک برای توصیف رفتار مکانیکی ماده استفاده کردند. این مدل فرایند شکل‌دهی را شبیه‌سازی می‌کند، اما امکان شبیه‌سازی مراحل باربرداری و سرد شدن را ندارد. زیرا با سرد شدن ماده و حذف بار، ورق به حالت اولیه خود برگرد و تمام کرنش ایجادشده را از دست می‌دهد. ریچتون و همکاران [11] پی.ام.آ را به صورت یک ماده ویسکوالاستیک درنظر گرفتند و نشان دادند که اثرات ویسکوز در فاز الاستیک برای این ماده ناچیز است. کانر و همکاران [12] از تست کشش دومحوره برای بدست آوردن خواص ماده پی.ام.آ استفاده کردند و درنتیجه مدل هایپرالاستیک را برای

پی.ام.آ یکی از سخت‌ترین گرمانه‌ها (Thermoplastic) است که مقاومت بالایی دربرابر خراشیدگی نیز دارد. جدول (۱) برخی از ویژگی‌های مکانیکی پی.ام.آ را نشان می‌دهد. البته این ماده معایی نیز دارد که از جمله آنها می‌توان به مقاومت کم در برابر حلال، به‌ویژه کتون‌ها، استرها، کلروکربن‌ها، هیدروکربن‌های آروماتیک و فریون و نیز قابلیت احتراق اشاره کرد. پایداری گرمایی پی.ام.آ معمولاً تا زیر ۷۰°C است. ولی تحت شرایط خاصی مانند فشار بالا می‌توان این دما را تا ۱۰۰°C افزایش داد [8]. برخی از ویژگی‌های گرمایی این ماده در جدول (۲) آمده است.

خواص نوری پی.ام.آ از اهمیت ویژه‌ای برخوردار است. این ماده نور خیلی کمی را جذب می‌کند (۴٪)، و برای نور عمودی، حدود ۴٪ بازتاب در سطح مشترکی از بسپار- هوای اتفاق می‌افتد. بدین ترتیب میزان عبور نور عمودی از یک ورق پی.ام.آ عاری از لکه حدود ۹۲٪ می‌باشد [4].

برای شکل‌دهی ورق پی.ام.آ از روش‌های مختلفی از جمله شکل‌دهی آزاد استفاده می‌شود [7]. در تمام این روش‌ها دماهی شکل‌دهی نزدیک به دماهی نقطه نرمی پی.ام.آ، یعنی بین ۱۳۰°C و ۱۴۰°C است. در چنین شرایطی، پی.ام.آ در حالت خمیری قرار می‌گیرد و به راحتی شکل می‌پذیرد.

جدول ۱ ویژگی‌های مکانیکی پی.ام.آ [10]

مقدار	ویژگی مکانیکی
۱.۵ - ۱.۱۹(g/cm ^۳)	چگالی
۲۰(MPa)	مدول یانگ
۰.۲ - ۳(٪)	قابلیت جذب آب
۶۳ - ۹۷	سختی (راکول M)
۴۷ - ۷۹(MPa)	استحکام کششی نهایی
۱ - ۳۰(٪)	طویل شدگی (Elongation) در نقطه شکست
۲.۲ - ۳.۸(GPa)	مدول کششی

قرار گرفته و نتایج حاصل از شبیه‌سازی با نتایج آزمایش‌های عملی مقایسه شده است. همچنین میزان برگشت ارتفاع ورق پس از سرد شدن هم با این مدل توصیف می‌گردد.

در بهکارگیری رفتار الاستیک- پلاستیک از یک مدل الاستیک خطی همسان‌گرد طبق رابطه (۱) برای بیان فاز الاستیک استفاده شده است:

$$\sigma_{ij} = C_{ijkl} \varepsilon_{kl}^e \quad (1)$$

نمود کرنش، طبق رابطه (۲) به صورت تجزیه جمعی نمود کرنش الاستیک و نمود کرنش پلاستیک در نظر گرفته شده است:

$$d\varepsilon_{ij} = d\varepsilon_{ij}^e + d\varepsilon_{ij}^p \quad (2)$$

سطح تسلیم فون مایزر با کارسختی همسان‌گرد و قانون جریان همراه فرض گردید.

$$f = \sqrt{\frac{3}{2} S_{ij} : S_{ij} - \sigma_Y} = 0 \quad (3)$$

$$d\varepsilon_{ij}^p = d\lambda \frac{\partial f}{\partial \sigma_{ij}} \quad (4)$$

در رابطه (۳)، S_{ij} مؤلفه‌های تانسور تنش انحرافی و ۵۷ تنش تسلیم است که به میزان کرنش و کرنش پلاستیک معادل در هر نقطه وابسته است. با نوشتند معادله (۱) به شکل دیفرانسیلی و جایگزینی از روابط (۲) و (۴) می‌توان نوشت [۱۵]:

$$d\sigma_{ij} = C_{ijkl} (d\varepsilon_{kl} - d\lambda \frac{\partial f}{\partial \sigma_{kl}}) \quad (5)$$

با استفاده از رابطه (۳) و طی مراحل ریاضی نتیجه می‌شود:

$$d\sigma_{ij} = C_{ijkl}^{ep} d\varepsilon_{kl} \quad (6)$$

شبیه‌سازی فرآیند شکل دهی فشاری با سنبه کمکی در نرم افزار آباکوس به کار بردن. آنها سنبه و قالب را به صورت صلب فرض کردند و ضخامت قطعه نهایی را در سی موقعیت متفاوت در امتداد پروفیل آن‌ها اندازه‌گیری و با نتایج واقعی مقایسه کردند و به این نتیجه دست یافتند که مدل هایپرالاستیک برای پیش‌بینی توزیع ضخامت این پلیمر چندان مناسب نمی‌باشد. شیر و همکاران [۱۳] نشان دادند که برای پلیمرها در نرخ کرنش پایین، اثرات ویسکوپلاستیک قابل صرف‌نظر کردن است. آزدست و همکاران [۱۴] نیز فرایند شکل دهی ترکیبی را برای پیام. آم. آ پیشنهاد نمودند و از مدل هایپرالاستیک (مونی-ریولین) برای شبیه‌سازی فرایند استفاده کردند.

مالحظه می‌شود که تعدادی از پژوهشگران از مدل‌های هایپرالاستیک و ویسکوپلاستیک برای شبیه‌سازی فرایند شکل دهی ورق پیام. آم. آ استفاده کرده‌اند. این مدل‌ها فرایند بارگذاری را شبیه‌سازی می‌کنند، اما برای شبیه‌سازی مراحل سرد شدن قطعه و باربرداری نمی‌توان از آنها استفاده نمود. زیرا با سرد شدن ماده و حذف بار، ورق به حالت اولیه خود بر می‌گردد و تمام کرنش ایجاد شده را از دست می‌دهد. این در صورتی است که در آزمایش‌های واقعی، با سرد شدن و حذف بار از روی ورق شکل گرفته، تنها مقدار کمی از ارتفاع آن از دست می‌رود. می‌توان این گونه نتیجه‌گیری کرد که در حین فرایند شکل دهی، ماده پیام. آ وارد فاز پلاستیک می‌شود و بخش عمدۀ شکل دهی در این فاز انجام می‌شود. این در حالی است که مدل‌های مذکور چنین ویژگی ندارند. برگشت ارتفاع ناشی از سرد شدن و باربرداری می‌تواند بروی پروفیل نهایی، ضخامت و کیفیت اپتیکی آن اثر گذارد. بنابراین برای توصیف رفتار مکانیکی این ماده باید از مدل مناسب‌تری استفاده کرد. در این مقاله، مدل الاستیک- پلاستیک برای شبیه‌سازی فرایند شکل دهی گرم پیام. آ مورد استفاده

پس از بسته شدن ورق پی.ام.آ. بین دو قالب، مجموعه درون یک اجاق قرار می‌گیرد و تا دمای 135°C گرم می‌شود. برای اطمینان از یکنواختی دمای تمام نقاط ورق، بعد از رسیدن به دمای 135°C مجموعه به مدت چهل و پنج دقیقه در این دما باقی می‌ماند. سپس فشار هوای (bar) $0.4/0.0$ به صورت خطی و به مدت یک دقیقه از سمت پایین ورق اعمال می‌شود و ورق شروع به باد شدن می‌کند. بعد از آن درهای اجاق باز می‌شود و با تماس مجموعه با هوای محیط، مجموعه شروع به سرد شدن می‌کند. لازم به ذکر است که در این حالت فشار هوای همچنان با مقدار ثابت $0.4/0.0$ به ورق اعمال می‌شود. با گذشت حدود چهل و پنج دقیقه، دمای تمامی نقاط ورق به طور یکنواخت کاهش می‌یابد و دمای آن به دمای محیط می‌رسد. اکنون فشار هوای روی ورق برداشته می‌شود. باید توجه داشت که با سرد شدن مجموعه، ورق مقداری از ارتفاع خود را از دست می‌دهد و به عبارتی، برگشت ارتفاع ورق در این مرحله رخ می‌دهد. اگر ابتدا فشار هوای روی ورق برداشته شود و سپس ورق سرد شود، میزان برگشت ارتفاع ورق زیاد خواهد بود و این برگشت ارتفاع زیاد، باعث ایجاد اعوجاج در ورق می‌شود که در نتیجه آن عیوب اپتیکی در محصول به وجود می‌آید. همچنین توزیع ضخامت در چنین محصولی غیریکنواخت می‌باشد.

پس از باربرداری پیچ‌های قالب باز می‌شوند و محصول نهایی به دست می‌آید. برای اندازه‌گیری ارتفاع و ضخامت محصول، این قطعه به دو قسمت مساوی بریده می‌شود و سپس ضخامت در نقاط مشخصی از مقطع و به صورت تابعی از فاصله تالبه ورق اندازه‌گیری شد. برای این کار از ماشین اندازه‌گیری مختصات (CMM) استفاده شده است. مقطع نهایی در شکل (۴) نشان داده شده است. توزیع ضخامت و شکل پروفیل نهایی به دست آمده از این آزمایش، با نتایج حاصل از شبیه‌سازی مقایسه شده است.

که در آن C_{ijkl}^{ep} عبارت است از:

$$C_{ijkl}^{ep} = C_{ijkl} - C_{ijmn} \frac{\partial f}{\partial \sigma_{mn}} \frac{\partial f}{\partial \sigma_{rs}} C_{rskl} \quad (7)$$

در رابطه (7)

$$A = \left(\frac{\partial f}{\partial \sigma_{ab}} \right) C_{abuv} \left(\frac{\partial f}{\partial \sigma_{uv}} \right) - \left(\frac{\partial f}{\partial p} \right) \left(\frac{2}{3} \right) \left(\frac{\partial f}{\partial \sigma_{ab}} \right) \left(\frac{\partial f}{\partial \sigma_{ab}} \right)^{\frac{1}{2}} \quad (8)$$

و

$$dp = \left(\frac{2}{3} d\varepsilon_{kl}^p d\varepsilon_{kl}^p \right)^{\frac{1}{2}} \quad (9)$$

مقادیر کارسختی با توجه به آزمایش‌های انجام شده بر روی نمونه‌های پی.ام.آ در دماهای مختلف بدست آمده و در شبیه‌سازی اعمال گردید.

فرایند شکل‌دهی

در این فرایند یک ورق از جنس پی.ام.آ توسط فشار هوا به شکل یک حباب در می‌آید. ورق پی.ام.آ به صورت دایره به قطر 280 میلی‌متر و ضخامت 3 میلی‌متر می‌باشد که به منظور پیچ شدن در قالب داری دوازده سوراخ در اطراف آن می‌باشد. در آزمایش موردنظر تجهیزات شکل‌دهی عبارتند از یک قالب کاسه‌ای شکل از جنس آلومینیوم که به عنوان قالب پایینی به کار می‌رود و شیلنگ فشار هوای آن متصل می‌شود. یک حلقه آلومینیومی به ضخامت 4 میلی‌متر که به عنوان قالب بالایی استفاده می‌شود و یک لایه حلقه‌ای از جنس سیلیکون که برای آببندی بین ورق و قالب مورداستفاده قرار می‌گیرد. این تجهیزات در شکل (۳) قابل مشاهده هستند. نیرویی که ورق را در حین فرایند بین قالب‌ها نگه می‌دارد از طریق پیچ‌ها اعمال می‌شود. این پیچ‌ها در شکل (۳) نشان داده شده‌اند.

شبیه‌سازی به روش ضمنی (Implicit) انجام گرفت. برای اطمینان از بررسی صحیح اثرات تنش، کرنش و خمش، تعداد پنج المان در راستای ضخامت در نظر گرفته شد و در مجموع، از ۱۰۰۰ المان چهاروجهی برای تحلیل شکل دهی ورق استفاده گردید.

یک ورق دوبعدی مطابق با ابعاد ورق پی.ام.آ. مدل شد و از المان‌های پوسته‌ای دوبعدی و متقارن محوری برای تحلیل آن استفاده گردید. مراحل شبیه‌سازی را می‌توان به این صورت خلاصه کرد:

- ۱- در ابتدا قالب پایینی ثابت می‌شود و مجموعه در دمای شکل دهی، یعنی 135°C قرار می‌گیرد.
- ۲- برای مدل‌سازی نیروی بیچه‌ها، یک نیروی متتمرکز به قالب بالایی اعمال می‌شود.
- ۳- در مرحله سوم فشار هوا به صورت خطی به سطح زیرین ورق اعمال و ورق به صورت یک حباب باد می‌شود.

۴- پس از اعمال فشار در یک بازه زمانی، با کاهش دمای مجموعه، ورق به طور یکنواخت شروع به سرد شدن می‌کند.

۵- در این مرحله، دمای مجموعه به دمای اتاق می‌رسد. لذا فشار هوا از روی ورق حذف می‌شود.

۶- در مرحله آخر، نیرو از روی قالب بالایی حذف و قالب بلند می‌شود. به این ترتیب، باز شدن پیچ‌ها و برداشته شدن قالب بالایی از روی ورق شبیه‌سازی می‌شود.

آزمایش‌های کشش ساده نمونه پی.ام.آ در دماهای مختلف (25°C - 100°C - 110°C - 120°C - 130°C - 140°C) انجام شد. نمونه مورد استفاده برای آزمایش کشش طبق استاندارد ASTM-D638 آماده گردید. شکل‌های (۶) و (۷) به ترتیب نمونه تست و دستگاه کشش را نشان می‌دهند.

در شکل (۸) نتایج تنش-کرنش حاصل از تست کشش در دماهای مختلف برای ماده پی.ام.آ قابل مشاهده است. از آنجا که نرخ کرنش در فرایند شکل دهی



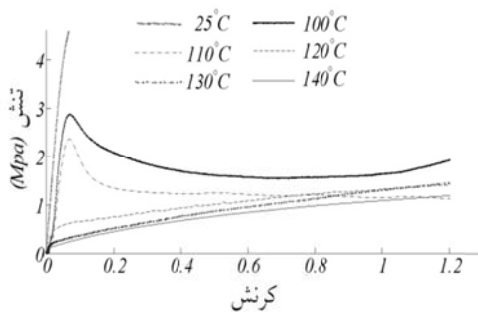
شکل ۳ اجزای قالب



شکل ۴ مقطع بریده شده محصول نهایی

شبیه‌سازی به کمک اجزای محدود

برای شبیه‌سازی فرایند شکل دهی در نرم‌افزار اجزای محدود با مدل الاستیک-پلاستیک، آزمایش‌های کشش تک محوره و وارهیدگی انجام شد. نمودار شکل (۵) که از انجام آزمایش وارهیدگی (Relaxation test) برای نمونه پی.ام.آ به دست آمد، نشان می‌دهد که در اثر وارهیدگی نمونه، تنها $6/8$ نیوتون از نیروی اعمالی به قطعه کاهش می‌یابد که در مقابل نیروی لازم برای کشش نمونه (حدود 7000 نیوتون) ناچیز و از مرتبه یک‌هزار است. لذا اثرات ویسکوز برای این ماده ناچیز و قابل صرف‌نظر کردن است. شبیه‌سازی در شش مرحله انجام گرفت و هر کدام از این مراحل به صورت زوج دما-جایه‌جایی (Coupled Temperature-Displacement) در نظر گرفته شد. از آنجاکه هندسه و شرایط بارگذاری مسئله، همگی به صورت متقارن محوری هستند، از مدل دوبعدی متقارن محوری به جای مدل سه‌بعدی استفاده شد و نیز



شکل ۸ نمودار تنش-کرنش مهندسی پی.ام.آ در دماهای مختلف

جدول ۳ مدول یانگ پی.ام.آ در دماهای مختلف به دست آمده

از تست‌های تجربی

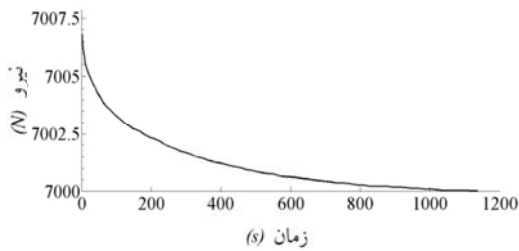
C (دما) (□)	مدول یانگ پی.ام.آ (MPa)	شماره
25	1600	1
100	205	2
110	120	3
120	28	4
130	18	5
140	15	6

نتایج شبیه‌سازی

برخی از نتایج به دست آمده از شبیه‌سازی فرایند شکل دهی در شکل‌های (۹) و (۱۰) به نمایش در آمده است. شکل (۹) مربوط به پایان مرحله بارگذاری (قبل از سرد شدن) و شکل (۱۰) مربوط به محصول نهایی است. ملاحظه می‌شود که با سرد شدن ورق و بارگذاری از روی آن مقداری از ارتفاع ورق کاهش می‌باید که مدل الاستیک-پلاستیک این مسئله را به خوبی نشان داده است. این کاهش ارتفاع بروی پروفیل نهایی قطعه و توزیع ضخامت در نقاط مختلف آن تأثیر می‌گذارد. بنابراین اگر نتوان این مرحله را مدل‌سازی نمود، نمی‌توان به پروفیل صحیح قطعه پس از شکل دهی دست یافت. بنابراین توزیع ضخامت به دست آمده از نرم‌افزار صحیح نیست و اعوجاج ایجاد شده در جسم قابل شناسایی نخواهد بود.

واقعی، $0.01/ \text{s}^0.5$ است، نمونه‌ها نیز در این نرخ کرنش مورد آزمایش قرار گرفتند.

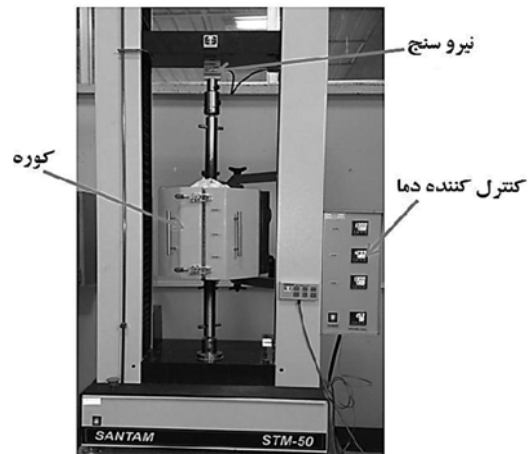
برای مدل‌سازی رفتار مکانیکی پی.ام.آ در نرم‌افزار از نتایج حاصل از تست کشش ساده استفاده شد. جدول (۳) مدول یانگ به دست آمده از آزمایش‌های کشش برای ورق پی.ام.آ را در دماهای مختلف نشان می‌دهد. سایر مشخصات نمونه از قبیل چگالی، ظرفیت گرمایی، ضریب هدایت گرمایی، ضریب پواسون و... نیز مطابق با مشخصات ارائه شده توسط شرکت سازنده، در نرم‌افزار وارد شد.



شکل ۵ نمودار تست واوهیدگی پی.ام.آ در دمای شکل دهی



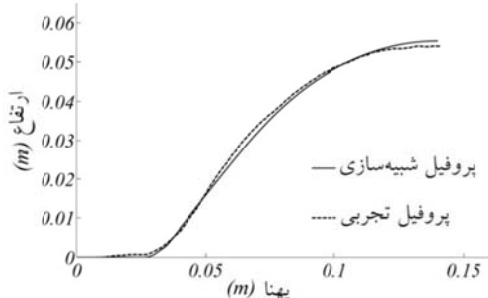
شکل ۶ نمونه تست کشش پی.ام.آ



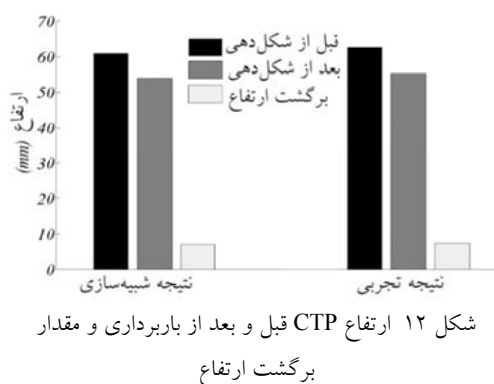
شکل ۷ دستگاه تست کشش

مربوط به لبه‌های ورق (یعنی جایی که بین دو قالب قرار می‌گیرد) است.

برای اطمینان از نتایج حاصل، پنج آزمایش دیگر با ورق پی.ام.آ به ضخامت $2/5$ میلی‌متر و همان ابعاد قبلی انجام گرفت، به گونه‌ای که در هر آزمایش مقدار فشار هوای اعمال شده متفاوت از آزمایش‌های دیگر بود. نتایج حاصل از این آزمایش‌ها در شکل‌های (۱۴) و (۱۵) به نمایش درآمده است. شکل (۱۴) مقدار ارتفاع نقطه CTP و شکل (۱۵) مقدار ضخامت در این نقطه را به ازای فشارهای مختلف نشان می‌دهد. با توجه به شکل‌ها می‌توان تطبیق نتایج را مشاهده و از صحت به کارگیری مدل الاستیک-پلاستیک اطمینان حاصل نمود. با توجه به نتایج به دست آمده از این آزمایش‌ها می‌توان از شبیه‌سازی فرایند شکل دهی گرم ورق پی.ام.آ با مدل الاستیک-پلاستیک برای تشخیص اثرات دما، فشار و ضخامت بر روی پروفیل نهایی و به کارگیری این نتایج در یک شبکه عصبی استفاده نمود.

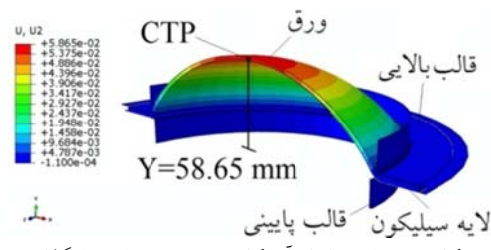


شکل ۱۱ مقایسه بین پروفیل‌های تجربی و شبیه‌سازی شده

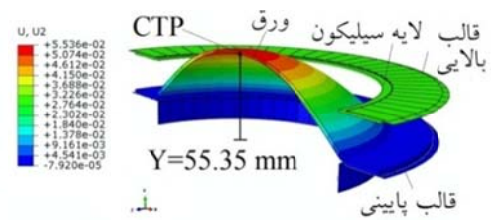


شکل ۱۲ ارتفاع CTP قبل و بعد از باربرداری و مقدار برگشت ارتفاع

پروفیل و ضخامت نهایی به دست آمده از شبیه‌سازی با نتایج تجربی مقایسه شده است. در شکل (۱۱) نیمی از پروفیل‌های مقطع برای نمونه‌های تجربی و شبیه‌سازی شده رسم و با یکدیگر مقایسه شده‌اند. همان‌گونه که ملاحظه می‌شود تطبیق نتایج خوب و قابل قبول است. ارتفاع بیشینه مربوط به نقطه میانی ورق می‌باشد که در این مقاله CTP نامیده می‌شود. این نقطه در دو شکل (۹) و (۱۰) مشخص شده است. شکل (۱۲) میزان ارتفاع نقطه CTP، قبل و بعد از باربرداری و همچنین مقدار برگشت ارتفاع این نقطه را نشان می‌دهد. ملاحظه می‌شود که مقدار برگشت ارتفاع پیش‌بینی شده توسط نرم‌افزار تطبیق خوبی با برگشت ارتفاع واقعی دارد.



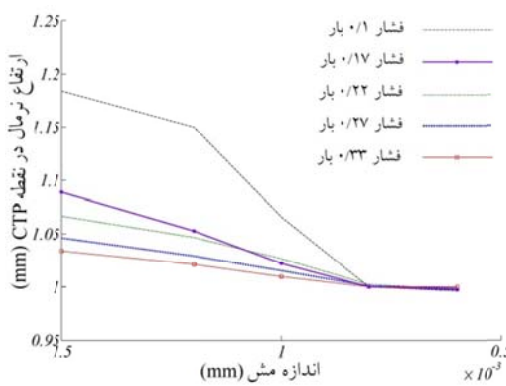
شکل ۹ ورق پی.ام.آ شکل دهی شده در پایان بارگذاری



شکل ۱۰ ورق پی.ام.آ شکل دهی شده در پایان فرایند

در شکل (۱۳) نمودار توزیع ضخامت حاصل از مدل شبیه‌سازی شده با توزیع ضخامت مقطع قطعه پس از شکل دهی مقایسه شده است. از این نمودار نیز می‌توان تطبیق نتایج حاصل از شبیه‌سازی ورق پی.ام.آ با مدل الاستیک-پلاستیک را با نتایج تجربی مشاهده نمود. همان‌طور که انتظار می‌رود کمترین ضخامت مربوط به نقطه CTP و بیشترین ضخامت

۰/۰۰۰۸ میلی‌متر برای مش‌ها، نتایج هم‌گرا شده است و کاهش بیشتر این اندازه تغییر چندانی در نتایج خروجی ایجاد نخواهد کرد.

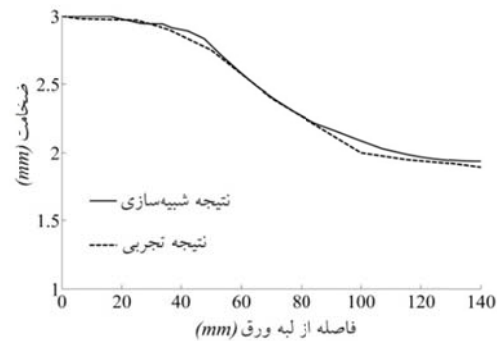


شکل ۱۶ اندازه مش بر حسب ارتفاع نرمال نسبت به ریزترین مش در نقطه CTP برای فشارهای مختلف

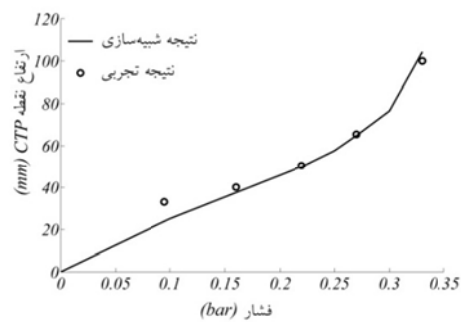
بهبود کیفیت اپتیکی قطعه به کمک روش شكل دهنده با لاستیک

یکی از مواردی که در کیفیت محصولات شفاف پلیمری اثر می‌گذارد، هموار بودن سطح قطعه و نبود اعوجاج است. البته اکثر محصولات پلیمری که با روش شکل دهنی حرارتی شکل داده می‌شوند، اندکی اعوجاج دارند. اما مقدار اعوجاج موجود در سطح محصول نباید به گونه‌ای باشد که در تصویر اجسام پشت آن تأثیر بگذارد.

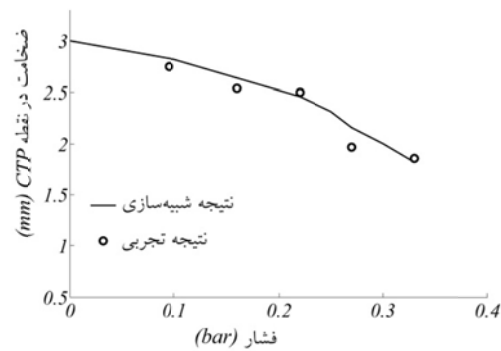
از جمله عواملی که می‌تواند بر هموار بودن سطح قطعه و میزان اعوجاج ایجاد شده در آن اثر بگذارد، توزیع ضخامت قطعه است. هرچه توزیع ضخامت در قطعه یکنواخت‌تر باشد، سطح قطعه و درنتیجه تصویر اجمالی که از پشت آن دیده می‌شوند، هموارتر خواهد بود [13]. معمولاً در قطعاتی که با روش شکل دهنی آزاد تولید می‌شوند، قسمت مرکزی کمترین ضخامت را دارد و لبه‌های قطعه که بین دو قالب قرار می‌گیرند، پس از شکل دهنی دارای بیشترین ضخامت هستند. هرچه اختلاف بیشترین و کمترین مقدار ضخامت،



شکل ۱۳ مقایسه ضخامت واقعی و نتایج شبیه‌سازی



شکل ۱۴ ارتفاع نقطه CTP در فشارهای مختلف برای نتایج واقعی و شبیه‌سازی



شکل ۱۵ ضخامت نقطه CTP در فشارهای مختلف برای نتایج واقعی و نتایج شبیه‌سازی

برای بررسی حساسیت جواب‌ها به اندازه مش، در شبیه‌سازی‌های مختلف با المان پوسته، اندازه‌های مختلف مش به کار گرفته شد. در شکل (۱۶) نمودار اندازه مش بر حسب ارتفاع نرمال نسبت به ریزترین مش در نقطه CTP برای پنج فشار مختلف به نمایش درآمده است. نتایج نشان می‌دهد که با انتخاب اندازه

دو روش وجود دارد که باعث برتری روش شکل دهنده با لاستیک نسبت به روش شکل دهنده به کمک سنبه می شود. نخست آنکه جنس لاستیک بسیار متفاوت از سنبه است و با انتخاب لاستیکی با خصوصیات نزدیک به ورق، اثرات سوئی که شکل دهنده با سنبه بروی ورق دارد، بر طرف خواهد شد. تفاوت دیگر این است که در شکل دهنده به کمک سنبه، در لحظه تماس، ابتدا قسمتی از سنبه با ورق برخورد می کند و با گذشت زمان، در حین فرایند بارگذاری، تماس بین سنبه و ورق کامل می شود. این عامل سبب توزیع غیریکنواخت ضخامت در قسمت های مختلف ورق می شود. اما در استفاده از لاستیک برای شکل دهنده، ورق و لاستیک از ابتدا و به صورت تمام سطح با یکدیگر در تماس هستند و شکل دهنده به طور یکنواخت انجام می شود. آزمایش های عملی نیز نشان می دهند که لاستیک اثر قابل توجهی بر سطح ورق نمی گذارد.

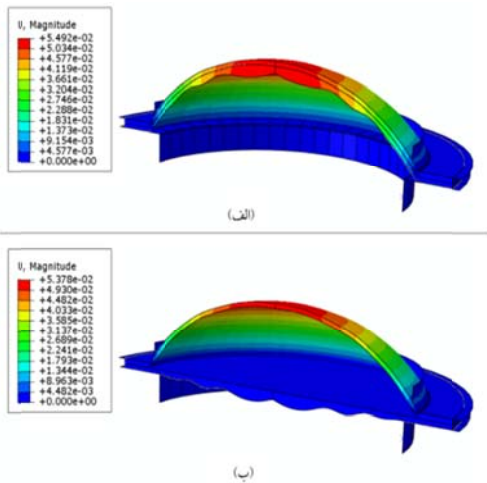
در روش موردنظر، سطح بالایی لاستیک به صورت کاملاً صاف و صیقلی است و در تماس مستقیم با ورق قرار می گیرد. اما سطح پایینی را می توان به صورت دلخواه و با ضخامت متغیر در نقاط مختلف طراحی کرد. به نظر می رسد برای کاهش و یا افزایش ضخامت ورق در یک نقطه، می توان از تغییر ضخامت لاستیک در همان نقطه استفاده نمود. برای بررسی این اثر و نتیجه حاصل از شکل دهنده به کمک لاستیک، از شبیه سازی استفاده شد.

روند شبیه سازی. برای توصیف ویژگی های لاستیک در نرم افزار شبیه سازی فرایند، از ویژگی های لاستیک پلی کربنات (Poly Carbonate Rubber (PC)) که خصوصیاتی نزدیک به پی.ام.آ. دارد، استفاده شد [9]. لاستیک به صورت یک ماده هایپر لاستیک در نظر گرفته شد و از مدل مونی- ریولین برای آن استفاده گردید [9]. با جای گذاری لاستیک در زیر ورق، فرایند مانند قبل شبیه سازی شد و در شبیه سازی های مختلف، فشار

بیشتر باشد، شبیه نمودار توزیع ضخامت قطعه بیشتر خواهد شد. از طرف دیگر وجود ناهمواری در نمودار و به عبارت ساده تر موج دار بودن نمودار نیز در کیفیت نامطلوب قطعه اثر خواهد گذاشت [13]. لذا در طراحی فرایند شکل دهنده، تلاش باید در جهتی باشد که توزیع ضخامت یکنواخت تر و به تبع آن، کیفیت مطلوب تری به دست آید.

از دیگر عواملی که می تواند بروی کیفیت اپتیکی محصول اثر بگذارد، توزیع کرنش برشی در قطعه است [13]. کرنش برشی به نوعی بیانگر حرکت لایه های ورق روی یکدیگر در حین فرایند شکل دهنده است. هرچه حرکت این لایه ها روی یکدیگر کمتر باشد، مقدار شکست و یا انحراف نور و درنتیجه انحراف تصویر اجسام در پشت قطعه کمتر خواهد بود [13]. بنابراین هرچه نمودار کرنش برشی در یک قطعه دارای مقدار کمتری باشد، کیفیت محصول از نظر اپتیکی بهتر خواهد بود. به همین دلیل اگر بتوان توزیع ضخامت نهایی و کرنش برشی قطعه را تا حدودی در اختیار گرفت، می توان به محصولی با کیفیت اپتیکی مطلوب تر دست یافت.

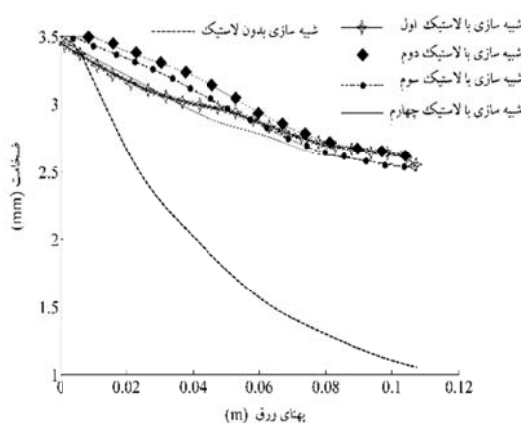
ایده ای که در این پژوهش برای کنترل توزیع ضخامت و کرنش در ورق مطرح می شود، شکل دهنده به کمک لاستیک است. در این روش لاستیکی با خصوصیات نزدیک به ورق و با اندازه ای مشابه، در زیر آن قرار می گیرد و در هنگام شکل دهنده، فشار هوا به جای ورق به لاستیک وارد می شود. با اعمال فشار، ورق و لاستیک شروع به باد شدن می کند و بسته به مقدار فشار اعمالی و نیز شکل لاستیک، تا ارتفاع مشخصی بالا می روند. با سرد شدن مجموعه و قطع فشار هوا، لاستیک شکل خود را از دست می دهد و به شکل اولیه باز می گردد. اما ورق که وارد فاز پلاستیک می شود، شکل نهایی خود را حفظ می کند و محصول موردنظر به دست می آید. این روش به نوعی یادآور روش شکل دهنده با سنبه است؛ اما تفاوت هایی بین این



شکل ۱۷ نتیجه شبیه‌سازی فرایند شکل‌دهی به‌کمک لاستیک

جدول ۴ شکل لاستیک در چهار شبیه‌سازی مختلف

شکل لاستیک	شماره شبیه‌سازی
	۱
	۲
	۳
	۴



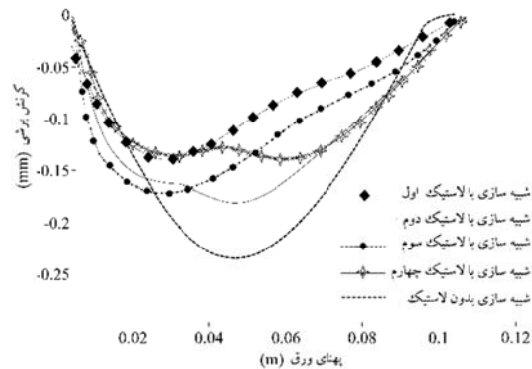
شکل ۱۸ توزیع ضخامت پی.ام.آ در شکل‌دهی به‌کمک لاستیک

اعمالی، شرایط مرزی و سایر ویژگی‌های فرایند یکسان در نظر گرفته شد، تنها شکل لاستیک، متفاوت از یک دیگر انتخاب گردید. در شکل (۱۷) نتایج مربوط به یکی از شبیه‌سازی‌ها نشان داده شده است. پس از انجام شبیه‌سازی‌های مختلف، نتایج توزیع ضخامت و کرنش برشی محصولات نهایی، با یکدیگر و با نتایج مربوط به شبیه‌سازی بدون لاستیک مقایسه گردید. در جدول (۴) شکل لاستیک در چهار مورد از شبیه‌سازی‌ها معرفی شده و در شکل (۱۸) نمودارهای توزیع ضخامت مربوط به این شبیه‌سازی‌ها نشان داده شده است. همان‌گونه که ملاحظه می‌شود، نتایج بسیار بهتر از حالتی است که فرایند بدون استفاده از لاستیک انجام می‌شد. در این شکل، نمودارهای توزیع ضخامت روند هموارتری را نسبت به حالتی که لاستیک وجود نداشت، طی می‌کنند و میزان کاهش ضخامت در این نمودارها بسیار کمتر از قبل است. به نظر می‌رسد که وجود لاستیک، نقیصه کاهش زیاد ضخامت را تا حدودی برطرف می‌کند و در قسمت‌های بالایی ورق که میزان تغییر‌شکل زیاد است، لاستیک با تغییر‌شکل برگشت‌پذیر خود، از تغییر‌شکل بیش از اندازه ورق پی.ام.آ جلوگیری کرده است. البته مقداری ناهمواری و به عبارت دیگر اعوجاج در نمودارهای توزیع ضخامت دیده می‌شود که به نظر می‌رسد با شکل لاستیک ارتباط دارد. این امر در نمودارهای مربوط به کرنش برشی قطعات نهایی حاصل از شبیه‌سازی نیز به چشم می‌خورد. در شکل (۱۹) نمودارهای کرنش برشی ورق پی.ام.آ مربوط به چند شبیه‌سازی نشان داده شده است. با توجه به این نمودارها، مقدار کرنش برشی نیز با وجود لاستیک بسیار کمتر از حالت بدون لاستیک می‌باشد. لذا می‌توان این نتیجه را گرفت که اعوجاج ایجاد شده در نمودارهای توزیع ضخامت و کرنش برشی، با شکل لاستیک ارتباط دارد. لذا با تغییر‌شکل لاستیک و به دست آوردن شکل مناسب برای آن، می‌توان اعوجاج مذکور را نیز بهبود بخشید.

اندازه ضخامت در این نقاط بین سه تا بیست میلی متر انتخاب گردید. بنابراین پنج اندازه t_1 تا t_5 به عنوان ورودی‌های شبکه عصبی در نظر گرفته شد. مجموع مربعات اختلاف نقاط متضاد دو پروفیل (پروفیل شبیه‌سازی شده و پروفیل مبنای) نیز به عنوان خروجی به شبکه عصبی معرفی گردید. برای به کارگیری شبکه عصبی، از نرم افزار متلب استفاده گردید. شبکه عصبی ایجاد شده از نوع پس انتشار خطأ بود و از طریق تشکیل ماتریس هسیان آموزش داده شد. در استفاده از شبکه عصبی توصیه می‌شود همیشه تعداد نورون‌های لایه اول از تعداد متغیرهای ورودی بیشتر باشد. به همین دلیل تعداد نورون‌ها ۸ تا انتخاب شد. توابع لایه‌های میانی در شبکه عصبی عموماً غیرخطی و از نوع توابع سیگموئیدی هستند. در شبکه مذکور، یک لایه میانی از نوع تائزانت سیگموئیدی (Tan.Sig.) انتخاب شد و لایه خروجی به صورت تک نورون و با تابع خطی در نظر گرفته شد. همچنین در ایجاد شبکه عصبی از برنامه‌ای موسوم به روش اعتبارسنجی K- fold cross Validation Method استفاده شد.

براساس این برنامه به جای یکبار آموزش شبکه و یک شبیه‌سازی با مقادیر ورودی و خروجی، شبکه به اندازه تعداد آزمایش‌های مسئله آموزش داده می‌شود [16]. لذا شبکه دقیق و دارای درصد خطای بسیار کمی ($\%3/6$) به دست آمد. مقدار مجموع مربعات باقی‌مانده (R-Square) نیز برای این شبکه برابر با $0/976$ به دست آمد که یک مقدار مطلوب است. شبکه رابطه بین ضخامت نقاط مختلف لاستیک با میزان انطباق پروفیل خروجی بر پروفیل مبنای را به صورت رابطه (۱۰) ارائه نمود.

$$F(t_i) = M_2 \left[\tanh \left(M_1 * \begin{pmatrix} t_1 \\ t_2 \\ t_3 \\ t_4 \\ t_5 \end{pmatrix} + B_1 \right) \right] + B_2 \quad (10)$$



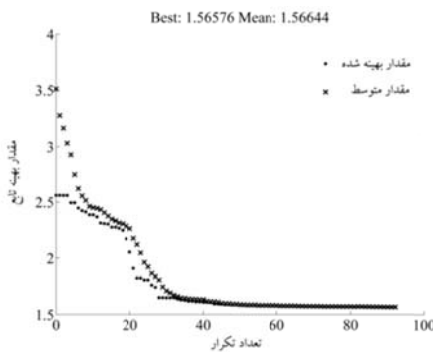
شکل ۱۹ توزیع کرنش بر روی پی.ام.آ در شکل دهی به کمک لاستیک

استفاده از شبکه عصبی و الگوریتم ژنتیک در طراحی شکل مناسب لاستیک برای بهبود کیفیت اپتیکی ورق پی.ام.آ

برای به دست آوردن قطعه مورد نظر، با کیفیت مطلوب، یکی از پروفیل‌های تجربی به عنوان پروفیل مبنای در نظر گرفته شد و شکل مناسب لاستیک برای رسیدن به این پروفیل، به دست آمد. با این تفاوت که قطعه به دست آمده، این بار دارای کیفیت اپتیکی به مراتب بهتر از قطعه تجربی موجود خواهد بود. لذا با استفاده از شبکه عصبی، رابطه شکل‌های مختلف لاستیک برای رسیدن به پروفیل مبنای بررسی می‌شود و به کمک الگوریتم ژنتیک شکل مناسب انتخاب می‌گردد.

برای این منظور، در قسمت‌های مختلف لاستیک، پنج نقطه، هر کدام به فاصله بیست میلی متر از دیگری انتخاب شد؛ در هر شبیه‌سازی ضخامت لاستیک در این نقاط تغییر کرد و بهترین منحنی درجه سومی که از این نقاط می‌گذرد برای ایجاد شکل لاستیک در نظر گرفته شد. این پنج نقطه و ضخامت لاستیک در این نقاط در شکل (۲۰) مشخص شده‌اند. لازم به ذکر است که ضخامت لاستیک در قسمت بین قالب و ورق، ثابت و بدون تغییر باقی مانده است.

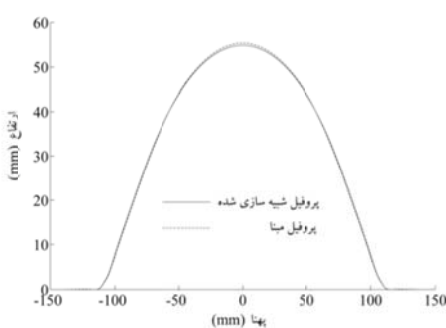
چندین شبیه‌سازی انجام شد و در هر مورد، اندازه‌های متفاوتی برای نقاط پنج گانه در نظر گرفته شد.



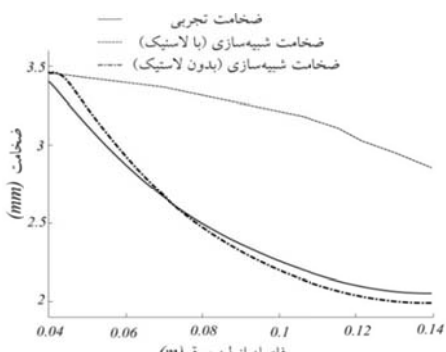
شکل ۲۱ روند کمینه کردن مقدار رابطه شکل لاستیک و پروفیل خروجی

جدول ۵ مقادیر ضخامت پیشنهادی نقاط مختلف لاستیک (میلی‌متر)

3.326	t_1
10.678	t_2
9.524	t_3
3.498	t_4
7.088	t_5



شکل ۲۲ مقایسه پروفیل‌های تجربی و شبیه‌سازی شده در شبیه‌سازی به کمک لاستیک

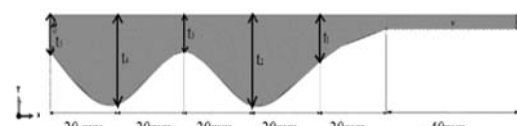


شکل ۲۳ مقایسه توزیع ضخامت قطعه تجربی و شبیه‌سازی شده در شکل دهی با لاستیک و بدون آن

در رابطه (۱۰)، M_1 ماتریس وزن‌های لایه اول با مرتبه (10×5) و B_1 ماتریس مقادیر اضافه (بایس) لایه اول با مرتبه (8×11) می‌باشد. M_2 و B_2 نیز مربوط به لایه دوم و به ترتیب (1×8) و (1×1) هستند. F نیز تابع خروجی شبکه و ییانگر مجموع مربعات اختلاف نقاط پروفیل موردنظر با پروفیل مینا، بر حسب میلی‌متر است.

رابطه مذکور توسط روش الگوریتم ژنتیک بهینه شد و کمترین مقدار آن به دست آمد. در شکل (۲۱) نمودار روند کمینه کردن تابع به نمایش درآمده است. با توجه به این شکل، به ازای مقادیر مشخص شده در جدول (۵)، برای t_1 تا t_5 ، کمترین اختلاف بین پروفیل‌های مینا و شبیه‌سازی شده حاصل خواهد شد. مجموع مربعات اختلاف نقاط پروفیل برابر است با: $1/56576$ میلی‌متر.

با توجه به نتایج ارائه شده توسط الگوریتم ژنتیک، شکل لاستیک طراحی و یک شبیه‌سازی به کمک آن انجام گرفت. در شکل (۲۲) پروفیل حاصل از شبیه‌سازی با پروفیل مینا مقایسه شده است. همان‌گونه که ملاحظه می‌شود اختلاف دو پروفیل کم و قابل قبول است. در شکل (۲۳) نیز نمودار توزیع ضخامت نهایی قطعه تجربی، قطعه شبیه‌سازی شده به کمک لاستیک و بدون آن مقایسه شده‌اند. ملاحظه می‌شود که توزیع ضخامت قطعه شبیه‌سازی شده در فرایند شکل دهی با لاستیک، هموارتر و یکنواخت‌تر از توزیع ضخامت قطعه تجربی و شبیه‌سازی شده در فرایند بدون لاستیک است.



شکل ۲۰ انتخاب ۵ نقطه در لاستیک برای تغییر ضخامت و شکل لاستیک

بحث و نتیجه‌گیری

رود. همچنین در صورت کترل کردن مقدار برگشت ارتفاع ورق در حین شکل‌دهی و کاهش این مقدار، می‌توان از ایجاد چروکیدگی و درنتیجه ایجاد یا تشدید عیوب اپتیکی در قطعه جلوگیری نمود.

دو عامل توزیع ضخامت و توزیع کرنش برشی در قطعهٔ نهایی، می‌تواند بیانگر میزان اعوجاج ایجاد شده در قطعه و کیفیت اپتیکی آن باشد. با دراختیار گرفتن روند توزیع ضخامت و کرنش برشی نهایی در حین شکل‌دهی، می‌توان به ضخامت یکنواخت‌تر و کرنش برشی کمتر در محصول دست یافت. روش پیشنهادی در این پژوهش، استفاده از یک لاستیک در فرایند شکل‌دهی است که به‌کمک آن می‌توان توزیع ضخامت قطعه را تا حدودی در اختیار گرفت و ضخامت یکنواختی تولید نمود. برای اثر نگذاشتن لاستیک بر روی سطح ورق، بهتر است خصوصیات مکانیکی و حرارتی لاستیک، نزدیک به خصوصیات ورق باشد. با تغییر ضخامت لاستیک در نقاط مختلف، می‌توان ضخامت‌ها و کرنش برشی متفاوتی را در ورق به‌دست آورد. با طراحی شکل مناسب برای لاستیک، علاوه‌بر حصول قطعه با کیفیت اپتیکی بهتر، می‌توان شکل قطعه نهایی را نیز با دقت زیادی پیش‌بینی نمود و حتی اشکالی که با روش معمول شکل‌دهی آزاد نمی‌توان آنها را به‌دست آورد، با این روش تولید نمود.

روش شکل‌دهی آزاد یکی از پرکاربردترین روش‌ها برای شکل‌دهی مواد است. بسیاری از پلیمرها از جمله پلی‌متیل‌متاکریلات (پی.ام.آ) با این روش شکل داده می‌شوند. در چنین محصولاتی، ویژگی‌های اپتیکی قطعه نهایی دارای اهمیت زیادی است. لذا بررسی عوامل مؤثر در این کیفیت و تلاش در جهت بهبود آنها، می‌تواند به تولید محصولات با خواص مطلوب‌تر کمک کند.

در این مقاله فرایند شکل‌دهی ورق پی.ام.آ توسط آزمایش‌های عملی انجام شد و نتایج آن با نتایج شبیه‌سازی فرایند در یک نرم‌افزار اجزای محدود و با به‌کارگیری مدل لاستیک-پلاستیک مقایسه گردید. براساس نتایج، مدل لاستیک-پلاستیک برخلاف مدل‌های هایپرلاستیک و ویسکوالاستیک قادر به شبیه‌سازی تمام مراحل فرایند می‌باشد و میزان برگشت ارتفاع، نتایج توزیع ضخامت و پروفیل نهایی را به‌خوبی پیش‌بینی می‌کند. بنابراین به‌نظر می‌رسد برای مدل‌سازی فرایند شکل‌دهی ورق‌های اکریلیک، به‌ویژه در نرخ کرنش‌های پایین نیازی به درنظر گرفتن اثرات نرخ کرنش و استفاده از مدل‌هایی مانند ویسکوالاستیک و ویسکوپلاستیک نیست؛ بلکه مدل ساده‌الاستیک-پلاستیک نیز می‌تواند برای شبیه‌سازی این ماده به‌کار

مراجع

1. Carbone, P. and Palazzo, G.S., "Finite Element Analysis of the Thermoforming Manufacturing Process Using the Hyper elastic Mooney-Rivlin Model", *International Conference on Computational Science and Its Applications (ICCSA)*, Glasgow, UK, Vol. 3980, pp. 794-803, (2006).
2. Dong, Y., Lin, R.J.T. and Bhattacharyya, D., "Determination of critical material parameters for numerical simulation of acrylic sheet forming", *Journal of Material Science*, Vol. 40, pp. 399-410, (2005).
3. Dong, Y., Lin, R.J.T. and Bhattacharyya, D., "Finite element simulation of thermoforming acrylic sheets using dynamic explicit method", *Journal of Polymer and Composite*, Vol. 14, pp. 307-328, (2006).

4. Satarian, M., "Reconnaissance Behavior of poly methyl methacrylate in the Free forming Process Using Simulation and Practical test", MSc Thesis, Department of Mechanical Engineering, Najaf Abad University, Isfahan, (2010).
5. Throne, J.L., "*Thermoforming*", First Edition, Hanser Publication, New York, (1987).
6. Senn, T., Waberski, Ch., Wolf, J., Esquivel, J.P., Sabaté, N. and Löchel, B., "3D structuring of polymer parts using thermoforming processes", *Journal of Microelectron Engineering*, Vol. 88, pp. 11–16, (2011).
7. Amiri, E., "A Finite Element Investigation on Thickness Distribution of PMMA Sheets in a Combination of Free Forming and Plug Assistance Forming", *17th Annual (International) Conference on Mechanical Engineering (ISME)*, University of Tehran, Iran, (2009).
8. R'egnier, G., Gilormini, P. and Chevalier, L., "Thermoforming poly (methyl methacrylate) transparencies", *Society of Plastics Engineers*, Vol. 40, pp. 376-388, (2010).
9. Varghese, A.G. and Batra, R.C., "Constitutive equations for thermo mechanical deformations of glassy polymers", *International Journal of Solids and Structures*, Vol. 46, pp. 4079–4094, (2009).
10. Krevelen, D.W. and Nijenhuis, K.T., "*Properties of Polymers*", Fourth Edition, Elsevier Publication, Netherland, (2009).
11. Richeton, J., Ahzi, S., Vecchio, K.S., Jiang, F.C. and Makradi, A., "Modeling and validation of the large deformation inelastic response of amorphous polymers over a wide range of temperatures and strain rates", *International Journal of Solids and Structures*, Vol. 44, pp. 7938–7954, (2007).
12. O'Connor, C.P.J., Menary, G., Martin, P.J. and McConvile, E., "Finite element analysis of the thermoforming of Polypropylene", *International Journal of Material Forming*, Vol. 1, pp. 779-782, (2008).
13. Scheer, H.C., Bogdanski, N., Wissen, M., Konishi, T. and Hirai, Y., "Polymer time constants during low temperature Nano imprint lithography", *Journal of Vacuum Science and Technology*, Vol. 23, pp. 2963-2966, (2005).
14. Azdast, T., Doniavi, A., Ahmadi, S.R. and Amiri, E., "Numerical and experimental analysis of wall thickness variation of a hemispherical PMMA sheet in thermoforming process", *The International Journal of Advanced Manufacturing Technology*, Vol. 64, pp. 113-122, (2013).
15. Dunne, F. and Petrinic, N., "*Introduction to Computational Plasticity*", Oxford University Press, United Kingdom, (2005).
16. McLachlan, J.G., Kim-Anh, D. and Ambroise, C., "*Analyzing Microarray Gene Expression Data*", First Edition, Wiley-Interscience, London, (2004).